

ИССЛЕДОВАНИЕ ЭЛЕКТРОМАГНИТНЫХ ПРОЦЕССОВ В ТЕРМОПАРАХ В УСЛОВИЯХ ДИНАМИЧЕСКОГО НАГРУЖЕНИЯ

В. В. Пай, И. В. Яковлев, Г. Е. Кузьмин

Институт гидродинамики им. М. А. Лаврентьева СО РАН, 630090 Новосибирск

Исследуются электромагнитные процессы в плоских термопарах, выполненных из металлов с изменяющейся проводимостью в условиях динамического нагружения, под действием бегущей нагрузки. Показано, что распределение электрического потенциала на поверхности термопары содержит информацию о поле скоростей и напряженном состоянии материалов, составляющих термопару. Предложен экспериментальный метод, позволяющий проверить адекватность теоретических моделей среды в условиях высокоскоростной деформации. В качестве иллюстрации проведены численные эксперименты на примере течения идеальной несжимаемой жидкости.

Динамические методы воздействия на материалы привлекают большое внимание, поскольку позволяют создавать новые материалы и улучшать свойства существующих металлов и сплавов. Импульсное приложение нагрузки приводит к изменениям структуры и физико-механических характеристик нагружаемых материалов. Механизмы деформации материалов при динамическом нагружении и в квазистатических условиях, определяемые как исходной структурой, так и напряженным состоянием вещества в нагруженной области, значительно различаются. В этой связи актуальным является развитие методов исследования напряженного состояния материалов в процессе динамического нагружения.

Известно использование термопарного эффекта для измерения температуры при одноосном сжатии металлов ударными волнами, при плоском установившемся течении, возникшем под действием импульсных нагрузок, и в условиях кумуляции [1-3]. В данной работе обсуждается принципиальная возможность применения термопарного эффекта для получения информации о поле скоростей и напряженном состоянии металлов при динамическом нагружении.

Будем изучать поведение плоской термопары толщиной h_0 , состоящей из слоев металлов 1 и 2. По поверхности термопары с постоянной скоростью и распространяется не меняющаяся во времени распределенная нагрузка (рис. 1). Коэффициенты термоЭДС металлов $S_1(T)$ и $S_2(T)$ зависят только от температуры, а коэффициенты электропроводности

$\sigma_1 = \sigma_1(p)$ и $\sigma_2 = \sigma_2(p)$ определяются давлением p . Чтобы выделить принципиально важные моменты и не усложнять изложения, считаем толщины слоев и механические характеристики металлов одинаковыми. Течение рассматривается в декартовых координатах x, y, z . Тогда в системе отсчета, связанной с нагрузкой, течение двухслойной неограниченной струи можно считать плоским и установившимся. Границы струи обозначим G_1, G_2 , границу раздела слоев — Γ , элементы длин границ — $dg_1; dg_2, d\gamma$ соответственно.

В результате воздействия нагрузки $p(g_1)$ на термопару произойдет ее неоднородный нагрев, который приведет к появлению вихревых токов и магнитного поля во всем объеме термопары. Распределение электрического потенциала на границах G_1 и G_2 будет связано как

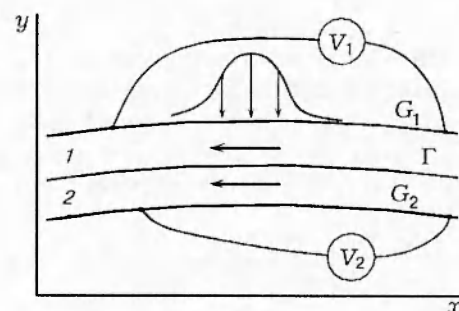


Рис. 1. Схема течения двухслойной струи, нагружаемой распределенным импульсом давления:

1, 2 — области, занятые металлами 1 и 2

с распределением $T(\gamma)$ температуры на границе Γ , так и с полем скоростей и напряженным состоянием металлов в струе. Действительно, для частицы металла, движущейся со скоростью \mathbf{u} , дифференциальный закон Ома с учетом термоэлектрического эффекта имеет вид

$$\mathbf{E} = -\frac{1}{e} \nabla \eta + \frac{1}{\sigma} \mathbf{j} + S \nabla T - \mu_0 \mathbf{u} \times \mathbf{H}, \quad (1)$$

где \mathbf{E} , \mathbf{H} — векторы напряженности электрического и магнитного полей, \mathbf{j} — плотность тока, η — химический потенциал, T — температура, e — заряд электрона, μ_0 — магнитная постоянная. Напряженность магнитного поля $\mathbf{H} = \mathbf{e}_z H$, где \mathbf{e}_z — единичный вектор оси z , H — z -составляющая магнитного поля. Применив операцию rot к (1) и учитывая, что в стационарном случае $\text{rot} \mathbf{E} = 0$, получим

$$\nabla \left(\frac{1}{\mu_0 \sigma} \nabla H \right) - \text{div} (H \mathbf{u}) = 0. \quad (2)$$

На границах G_1, G_2 ввиду условия непротекания тока

$$H = 0. \quad (3)$$

На границе металлов Γ напряженность магнитного поля \mathbf{H} непрерывна и связана с распределением температуры $T(\gamma)$ соотношением [2]

$$\frac{1}{\sigma_1} \frac{\partial H}{\partial n} \Big|_1 + \frac{1}{\sigma_2} \frac{\partial H}{\partial n} \Big|_2 = (S_1 - S_2) \frac{\partial T}{\partial \gamma}, \quad (4)$$

где $\frac{\partial H}{\partial n} \Big|_k$ — производные по нормали, причем вектор нормали направлен от границы Γ внутрь k -й области ($k = 1, 2$).

Показания вольтметров, каждый из которых одним концом подключен к точке с координатой g_k , а другим — к точке, бесконечно удаленной вверх по потоку, дается выражением [2] с учетом того, что $\mathbf{u} \cdot \mathbf{n} = 0$ на границе G_k :

$$V_k(g_k) = \int_{g_k}^{\infty} \frac{1}{\sigma_k} \nabla H \mathbf{n} dg_k, \quad k = 1, 2,$$

где \mathbf{n} — единичный вектор нормали к G_k . Покажем, как по зависимости $V_2(g_2)$ определить значение H во всей области, занимаемой металлом 2. Пусть $H = H(\gamma, x, y)$ — решение уравнения (2) с граничными условиями $H = 0$ на границе G_2 и

$$\frac{1}{\sigma_2} \frac{\partial H}{\partial n} \Big|_2 = \alpha \delta(\gamma - \gamma_0)$$

на Γ , где $\delta(\gamma - \gamma_0)$ — дельта-функция Дирака. Обозначим производную по нормали к G_2 в точке g_2 как

$$K(\gamma, g_2) = \frac{\partial H(\gamma, x, y)}{\partial n}.$$

Тогда при граничном условии на Γ

$$\frac{1}{\sigma_2} \frac{\partial H}{\partial n} \Big|_2 = \alpha f(\gamma)$$

имеем

$$V_2(g_2) = \int_{-\infty}^{\infty} K(\gamma, g_2) f(\gamma) d\gamma. \quad (5)$$

Для определения $f(\gamma)$ получили некорректное уравнение Фредгольма 1-го рода, которое может быть решено методами регуляризации с использованием априорной информации о гладкости искомого решения [2]. Определив $f(\gamma)$, найдем $H(\gamma)$ и в области 1 (см. рис. 1) будем решать уравнение (2) с граничными условиями $H = H(\gamma)$ и $H = 0$ на границах Γ и G_1 соответственно. Определив $H(x, y)$ во всей области 1, найдем

$$V_1(g_1) = \int_{g_1}^{\infty} \frac{1}{\sigma_1(p)} \nabla H \mathbf{n} dg_1. \quad (6)$$

Распределение температуры $T(\gamma)$ на границе Γ можно найти из соотношения (4). Заметим, что при определении $K(\gamma, g_2)$ и, следовательно, $f(\gamma)$ используется информация только о поле скоростей в области 2, но не о поле температур или напряженном состоянии металла 2.

Для вычисления $V_1(g_1)$ необходимо знание как поля скоростей, так и распределение давления в области 2. Это обстоятельство позволяет предложить простой экспериментальный метод проверки адекватности той или иной модели среды. Суть метода заключается в том, что по экспериментально определенной зависимости $V_2(g_2)$ и рассчитанным полям скоростей и напряжений вычисляется $V_1(g_1)$. Путем сопоставления $V_1(g_1)$ с экспериментально определенным напряжением на границе G_1 можно сделать вывод о соответствии модели реальному поведению материала при динамическом нагружении.

В тех случаях, когда поле скоростей может быть определено с достаточной точностью, например при условии $|\mathbf{u} - \mathbf{u}_0|/|\mathbf{u}_0| \ll 1$, зависимость $V_1(g_1)$ будет содержать информацию только о напряженном состоянии металла в области 1. С другой стороны, хорошо известно, что результаты расчетов кинематических параметров для различных моделей сплошных сред наименее чувствительны к выбору определяющих соотношений среды по сравнению с

другими механическими и термодинамическими величинами.

Для оценки величин V_1, V_2 с целью выяснения возможности их измерения рассмотрим термопару как струю идеальной несжимаемой жидкости, имеющую на бесконечности толщину h_0 и скорость U_0 . К границе G_1 приложена распределенная сила. Введем функцию

$$\xi = \ln \frac{w}{U_0} = \ln \frac{V}{U_0} - i\theta,$$

где $w = V \exp(-i\theta)$ — комплексно-сопряженная скорость, V — модуль скорости течения, θ — угол между вектором скорости и осью x . Введем переменные

$$\varphi = \frac{\varphi'}{U_0 h_0}, \quad \psi = \frac{\psi'}{U_0 h_0}.$$

Здесь φ', ψ' — обычные потенциал и функция тока, определяемые уравнениями

$$\frac{\partial \varphi'}{\partial x} = u, \quad \frac{\partial \varphi'}{\partial y} = v, \quad \frac{\partial \psi'}{\partial x} = -v, \quad \frac{\partial \psi'}{\partial y} = u,$$

где u, v — компоненты вектора скорости. Пусть

$$\Re(\xi) = \ln \frac{V_1(\varphi)}{U_0} \quad \text{на } G_1,$$

$$\Re(\xi) = 0 \quad \text{на } G_2.$$

С помощью интеграла Шварца определим аналитическую в полосе течения функцию $\xi(\varphi, \psi)$ с точностью до несущественной мнимой постоянной (поворот течения как целого). Интеграл Шварца для полосы единичной ширины имеет вид

$$\begin{aligned} \xi(\varphi, \psi) &= \\ &= -\frac{i}{2} \int_{-\infty}^{\infty} \Re(\xi(t)) \operatorname{cth} \frac{\pi(t - \varphi - i\psi)}{2} dt = \\ &= -\frac{i}{2} \int_{-\infty}^{\infty} \ln \frac{V_1(t)}{U_0} \operatorname{cth} \frac{\pi(t - \varphi - i\psi)}{2} dt. \end{aligned}$$

При этом

$$\begin{aligned} \Re[\xi(\varphi, \psi)] &= \ln \frac{V(\varphi, \psi)}{U_0} = \\ &= \int_{-\infty}^{\infty} \ln \frac{V_1(t)}{U_0} \frac{\sin(\pi\psi)}{\operatorname{ch} \pi(t - \varphi) - \cos(\pi\psi)} dt. \end{aligned}$$

Имеем $\psi = 1$ на G_1 и $\psi = 0$ на G_2 . Если на G_1 задано $p_1(g_1)$, то из интеграла Бернулли находим

$$V_1(t) = U_0 \sqrt{1 - \frac{2p_1(g_1(\varphi))}{\rho U_0^2}},$$

причем вдоль линии тока

$$t = \int_0^{g_1} \sqrt{1 - \frac{2p_1(g_1)}{\rho U_0^2}} \frac{dg_1}{h_0}.$$

Подставив $V_1(t)$ в интеграл Шварца, получим

$$\frac{V(\varphi, \psi)}{U_0} = \exp[\Re(\xi(\varphi, \psi))].$$

Найдем давление из закона Бернулли:

$$p(\varphi, \psi) = \frac{\rho U_0^2}{2} \left(1 - \frac{V^2(\varphi, \psi)}{U_0^2}\right).$$

Теперь для произвольного $\sigma(p) = \sigma(p(\varphi, \psi))$ определим проводимость в любой точке течения. Уравнение (2) и граничные условия (3), (4) в переменных φ, ψ имеют вид

$$\begin{aligned} \frac{\partial}{\partial \varphi} \left(\frac{1}{\mu_0 \sigma U_0 h_0} \frac{\partial H}{\partial \varphi} \right) + \\ + \frac{\partial}{\partial \psi} \left(\frac{1}{\mu_0 \sigma U_0 h_0} \frac{\partial H}{\partial \psi} \right) + \frac{\partial H}{\partial \varphi} = 0, \quad (7) \end{aligned}$$

$$\psi = 1, \quad H = 0 \quad \text{на } G_1, \quad \psi = 0, \quad H = 0 \quad \text{на } G_2,$$

$$H \Big|_{\psi=0,5+0} = H \Big|_{\psi=0,5-0};$$

$$\begin{aligned} \frac{1}{\sigma_1} \frac{\partial H}{\partial \psi} \Big|_{\psi=0,5+0} - \frac{1}{\sigma_2} \frac{\partial H}{\partial \psi} \Big|_{\psi=0,5-0} = \\ = (S_1 - S_2) \frac{\partial T}{\partial \varphi} \quad \text{на } \Gamma. \end{aligned}$$

Для определенности выберем в качестве металла 1 константан, а металла 2 — манганин. Тогда $\rho \approx 8,6 \text{ г/см}^3$, $\sigma_1 = \text{const}$, $\sigma_2 = \sigma_2(p)$. Зависимость проводимости манганина от давления возьмем из данных [4], полученных в экспериментах по измерению сопротивления R манганиновых датчиков в ударных волнах разной интенсивности (R_0 — сопротивление при атмосферном давлении):

$$p(R) = 356,2 \frac{\Delta R}{R_0} + 42,6 \left(\frac{\Delta R}{R_0} \right)^2.$$

В качестве модельного распределения давления по поверхности $p(g_1)$ возьмем гауссову кривую

$$p(g_1) = p_{\max} \exp \left(- \frac{g_1}{mh_0} \right)^2.$$

Распределение температуры рассчитаем по модели Ми — Грюнайзена. Для иллюстрации характерных величин сигналов на рис. 2 приведены зависимости $V_1(g_1), V_2(g_2)$, рассчитанные по уравнениям (5), (6) после решения

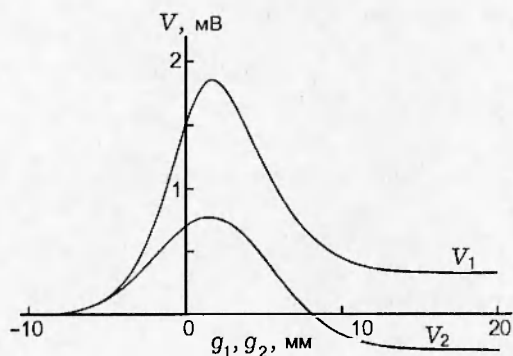


Рис. 2. Распределение электрических напряжений на границах биметаллической струи

уравнения (7) методом установления со следующими значениями параметров: $h_0 = 2$ мм, $U_0 = 3,5$ км/с, $p_{\max} = 30$ ГПа, $m = 5$. Как видно из рис. 2, характерные значения напряжений составляют $0,5 \div 2$ мВ во временном интервале ≈ 10 мкс, что вполне достаточно для их надежного экспериментального определения.

Таким образом, в работе показано, что в ряде практически важных случаев поле напряжений в плоской термопаре определяет распределение электрического потенциала на поверхностях металлов, составляющих термопару. Отсюда следует принципиальная возмож-

ность экспериментальной проверки адекватности определяющих уравнений той или иной модели сплошной среды на основе результатов измерений потенциала и сравнения с расчетными значениями, полученными с использованием данной модели среды.

Работа выполнена при поддержке Российского фонда фундаментальных исследований (код проекта 97-01-01072).

ЛИТЕРАТУРА

1. **Иштуткин С. Н., Кузьмин Г. Е., Пай В. В.** К термопарным измерениям температуры при ударном сжатии металлов // Физика горения и взрыва. 1986. Т. 22, № 5. С. 96–104.
2. **Иштуткин С. Н., Кузьмин Г. Е., Пай В. В., Фруммин Л. Л.** Об измерении поля температуры при плоском установившемся течении металла // ПМТФ. 1992. № 2. С. 157–165.
3. **Пай В. В., Кузьмин Г. Е.** Экспериментальное определение температуры металлической струи // Физика горения и взрыва. 1994. Т. 30, № 3. С. 92–95.
4. **Канель Г. И.** Применение манганиновых датчиков для измерения давлений ударного сжатия конденсированных сред. Черноголовка, 1973. (Препр. / АН СССР. Отд-ние ИХФ).

Поступила в редакцию 1/ХП 1997 г.